

## BG60

| Reflexionsfaktor |       |
|------------------|-------|
| $P_d$            | 0,914 |

| Referenzdicke |   |
|---------------|---|
| d [mm]        | 1 |

| Spektrale Garantiewerte |        |        |
|-------------------------|--------|--------|
| $\tau_i$ (405nm)        | $\geq$ | 0.8    |
| $\tau_i$ (514nm)        | $\geq$ | 0.91   |
| $\tau_i$ (633nm)        | $\geq$ | 0.1    |
| $\tau_i$ (694nm)        | $\leq$ | 0.008  |
| $\tau_i$ (1060nm)       | $\leq$ | 0.0015 |
|                         |        |        |
|                         |        |        |
|                         |        |        |

| Brechzahl n                                   |       |
|---|-------|
| $n_i$ (365.0 nm) =                            | 1.559 |
| $n_h$ (404.7 nm) =                            | 1.552 |
| $n_e$ (546.1 nm) =                            | 1.540 |
| $n_d$ (587.6 nm) =                            | 1.538 |
| Sellmeierkoeffizienten auf Anfrage erhältlich |       |

| Dichte                      |      |
|-----------------------------|------|
| $\rho$ [g/cm <sup>3</sup> ] | 2,83 |

| Blasenhaltigkeit |   |
|------------------|---|
| Blasenklasse     | 2 |

| Chemische Haltbarkeit |      |
|-----------------------|------|
| FR Klasse             | 1.0  |
| SR Klasse             | 52.3 |
| AR Klasse             | 3.3  |

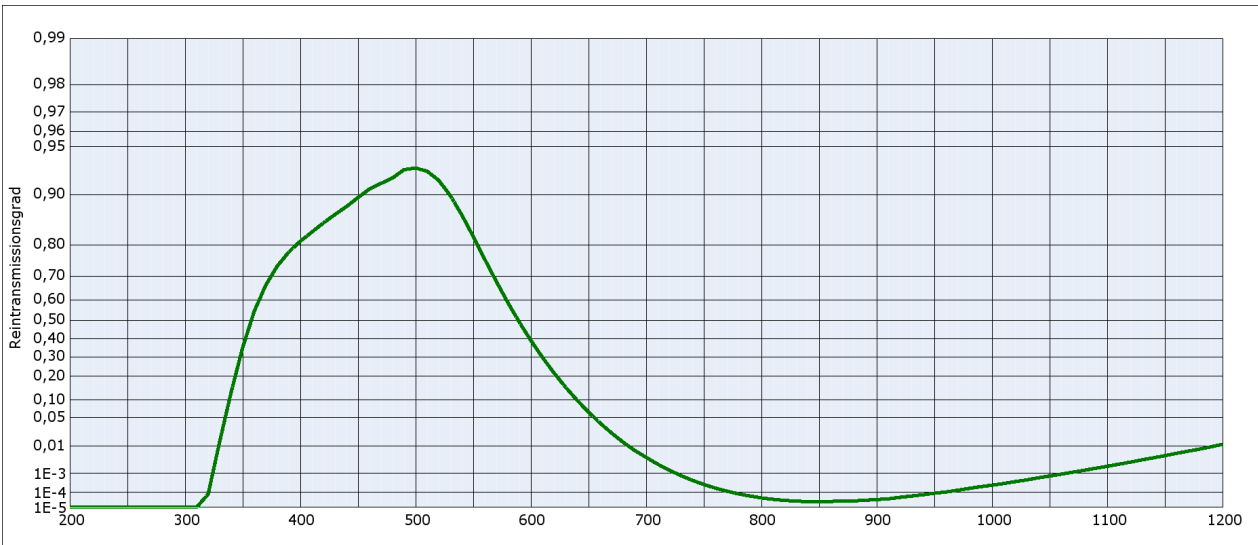
| Transformationstemperatur |     |
|---------------------------|-----|
| Tg [°C]                   | 411 |

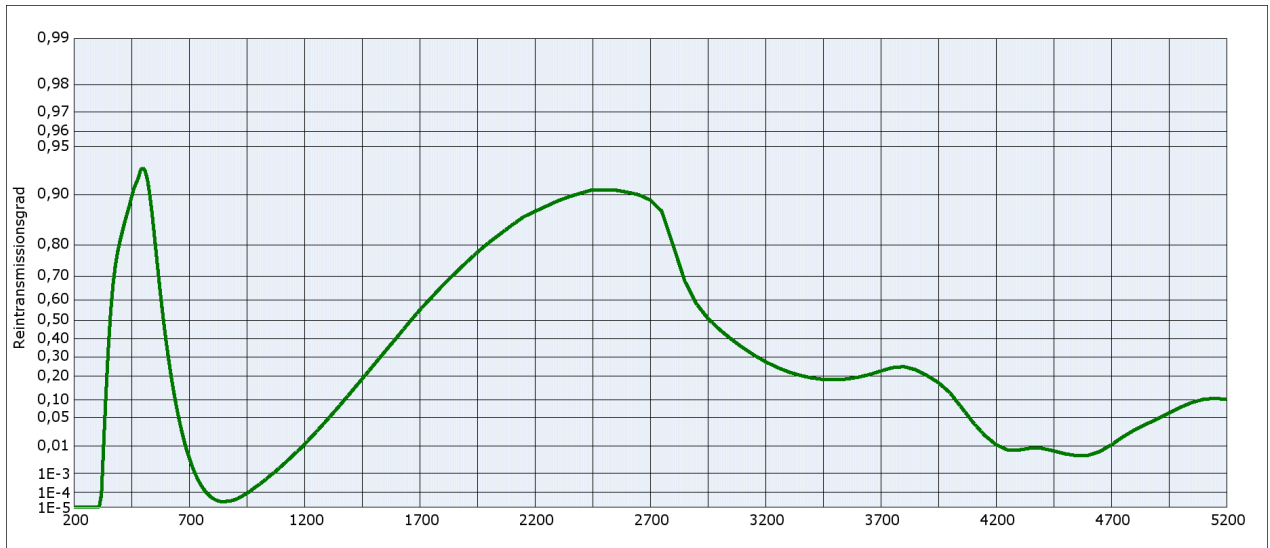
| Wärmeausdehnung                                       |      |
|---|------|
| $\alpha_{30/+70^\circ\text{C}}$ [10 <sup>-6</sup> /K] | 12,0 |
| $\alpha_{20/300^\circ\text{C}}$ [10 <sup>-6</sup> /K] | 13,9 |
| $\alpha_{20/200^\circ\text{C}}$ [10 <sup>-6</sup> /K] |      |

| Temperaturkoeffizient |  |
|-----------------------|--|
| $T_K$ [nm/°C]         |  |
|                       |  |
|                       |  |
|                       |  |

| Bemerkungen   |  |
|---|--|
| Ionengefärbtes Glas   |  |
| Bandpassfilter / Kurzpassfilter   |  |
| Infrarot-Sperrfilter  |  |
| $\lambda_{50\%}(\text{Dicke}=0.3\text{mm}) = 633 \text{ nm}$  |  |
|   |  |
|   |  |
|   |  |
|   |  |
| Langzeitveränderungen des polierten Glases sind unter Umständen möglich.                            |  |
|   |  |
| Keine sichtbaren Oberflächenveränderungen nach 500h Feuchtekammer bei 85 °C und 85% rh              |  |
|   |  |
| Knoophärte HK (0.1/20) = 362  |  |
|   |  |
| <b>Alle Angaben ohne Toleranzen sind als Richtwerte zu verstehen.</b>                               |  |
| <b>Spezifizierte Werte sind lediglich die unter "Spektrale Garantiewerte" aufgeführten Angaben.</b> |  |

| Farbmetrische Auswertung       |       |       |       |                            |       |       |       |  |       |       |       |  |
|--------------------------------|-------|-------|-------|----------------------------|-------|-------|-------|--|-------|-------|-------|--|
| Lichtart A (Planck T = 2856 K) |       |       |       | Lichtart Planck T = 3200 K |       |       |       | Lichtart D65 (T <sub>c</sub> = 6504 K) |       |       |       |  |
| d [mm]                         | 1     | 2     | 3     | d [mm]                     | 1     | 2     | 3     | d [mm]                                 | 1     | 2     | 3     |  |
| x                              | 0,334 | 0,271 | 0,232 | x                          | 0,314 | 0,256 | 0,221 | x                                      | 0,236 | 0,201 | 0,181 |  |
| y                              | 0,436 | 0,441 | 0,437 | y                          | 0,418 | 0,417 | 0,411 | y                                      | 0,318 | 0,306 | 0,297 |  |
| Y                              | 56    | 40    | 32    | Y                          | 57    | 42    | 33    | Y                                      | 64    | 50    | 41    |  |
| $\lambda_d$ [nm]               | 499   | 498   | 497   | $\lambda_d$ [nm]           | 497   | 496   | 495   | $\lambda_d$ [nm]                       | 490   | 489   | 489   |  |
| P <sub>e</sub>                 | 0,26  | 0,41  | 0,50  | P <sub>e</sub>             | 0,27  | 0,41  | 0,50  | P <sub>e</sub>                         | 0,29  | 0,43  | 0,51  |  |





**Reintransmissionsgrad  $\tau_i$  bei der Referenzdicke  $d = 1 \text{ mm}$**   
**Die Reintransmissionsgrade, tabellarisch und graphisch, sind als Richtwerte zu verstehen.**

| $\lambda$ [nm] | $\tau_i$            | $\lambda$ [nm] | $\tau_i$            | $\lambda$ [nm] | $\tau_i$            | $\lambda$ [nm] | $\tau_i$            | $\lambda$ [nm] | $\tau_i$ | $\lambda$ [nm] | $\tau_i$            |
|----------------|---------------------|----------------|---------------------|----------------|---------------------|----------------|---------------------|----------------|----------|----------------|---------------------|
| 200            | $< 10^{-5}$         | 500            | 0,932               | 800            | $4,6 \cdot 10^{-5}$ | 1100           | $2,0 \cdot 10^{-3}$ | 2200           | 0,873    | 3700           | 0,226               |
| 210            | $< 10^{-5}$         | 510            | 0,929               | 810            | $3,7 \cdot 10^{-5}$ | 1110           | $2,4 \cdot 10^{-3}$ | 2250           | 0,882    | 3750           | 0,243               |
| 220            | $< 10^{-5}$         | 520            | 0,919               | 820            | $3,1 \cdot 10^{-5}$ | 1120           | $2,9 \cdot 10^{-3}$ | 2300           | 0,891    | 3800           | 0,248               |
| 230            | $< 10^{-5}$         | 530            | 0,899               | 830            | $2,8 \cdot 10^{-5}$ | 1130           | $3,5 \cdot 10^{-3}$ | 2350           | 0,897    | 3850           | 0,233               |
| 240            | $< 10^{-5}$         | 540            | 0,867               | 840            | $2,6 \cdot 10^{-5}$ | 1140           | $4,2 \cdot 10^{-3}$ | 2400           | 0,902    | 3900           | 0,204               |
| 250            | $< 10^{-5}$         | 550            | 0,821               | 850            | $2,5 \cdot 10^{-5}$ | 1150           | $5,0 \cdot 10^{-3}$ | 2450           | 0,907    | 3950           | 0,171               |
| 260            | $< 10^{-5}$         | 560            | 0,757               | 860            | $2,6 \cdot 10^{-5}$ | 1160           | $6,0 \cdot 10^{-3}$ | 2500           | 0,906    | 4000           | 0,128               |
| 270            | $< 10^{-5}$         | 570            | 0,679               | 870            | $2,9 \cdot 10^{-5}$ | 1170           | $7,0 \cdot 10^{-3}$ | 2550           | 0,906    | 4050           | $7,7 \cdot 10^{-2}$ |
| 280            | $< 10^{-5}$         | 580            | 0,587               | 880            | $2,9 \cdot 10^{-5}$ | 1180           | $8,2 \cdot 10^{-3}$ | 2600           | 0,904    | 4100           | $4,0 \cdot 10^{-2}$ |
| 290            | $< 10^{-5}$         | 590            | 0,489               | 890            | $3,2 \cdot 10^{-5}$ | 1190           | $9,7 \cdot 10^{-3}$ | 2650           | 0,900    | 4150           | $2,0 \cdot 10^{-2}$ |
| 300            | $< 10^{-5}$         | 600            | 0,390               | 900            | $3,6 \cdot 10^{-5}$ | 1200           | $1,1 \cdot 10^{-2}$ | 2700           | 0,892    | 4200           | $1,1 \cdot 10^{-2}$ |
| 310            | $< 10^{-5}$         | 610            | 0,298               | 910            | $4,0 \cdot 10^{-5}$ | 1250           | $2,4 \cdot 10^{-2}$ | 2750           | 0,874    | 4250           | $7,7 \cdot 10^{-3}$ |
| 320            | $7,8 \cdot 10^{-5}$ | 620            | 0,217               | 920            | $4,9 \cdot 10^{-5}$ | 1300           | $4,6 \cdot 10^{-2}$ | 2800           | 0,798    | 4300           | $7,7 \cdot 10^{-3}$ |
| 330            | $1,4 \cdot 10^{-2}$ | 630            | 0,151               | 930            | $6,0 \cdot 10^{-5}$ | 1350           | $8,0 \cdot 10^{-2}$ | 2850           | 0,680    | 4350           | $8,8 \cdot 10^{-3}$ |
| 340            | 0,130               | 640            | 0,100               | 940            | $7,2 \cdot 10^{-5}$ | 1400           | 0,127               | 2900           | 0,583    | 4400           | $8,6 \cdot 10^{-3}$ |
| 350            | 0,352               | 650            | $6,4 \cdot 10^{-2}$ | 950            | $9,0 \cdot 10^{-5}$ | 1450           | 0,187               | 2950           | 0,510    | 4450           | $7,2 \cdot 10^{-3}$ |
| 360            | 0,545               | 660            | $3,9 \cdot 10^{-2}$ | 960            | $1,1 \cdot 10^{-4}$ | 1500           | 0,256               | 3000           | 0,451    | 4500           | $5,8 \cdot 10^{-3}$ |
| 370            | 0,664               | 670            | $2,3 \cdot 10^{-2}$ | 970            | $1,3 \cdot 10^{-4}$ | 1550           | 0,330               | 3050           | 0,400    | 4550           | $5,0 \cdot 10^{-3}$ |
| 380            | 0,736               | 680            | $1,3 \cdot 10^{-2}$ | 980            | $1,7 \cdot 10^{-4}$ | 1600           | 0,406               | 3100           | 0,352    | 4600           | $5,1 \cdot 10^{-3}$ |
| 390            | 0,779               | 690            | $7,4 \cdot 10^{-3}$ | 990            | $2,1 \cdot 10^{-4}$ | 1650           | 0,481               | 3150           | 0,310    | 4650           | $6,8 \cdot 10^{-3}$ |
| 400            | 0,809               | 700            | $4,3 \cdot 10^{-3}$ | 1000           | $2,6 \cdot 10^{-4}$ | 1700           | 0,551               | 3200           | 0,274    | 4700           | $1,1 \cdot 10^{-2}$ |
| 410            | 0,831               | 710            | $2,4 \cdot 10^{-3}$ | 1010           | $3,2 \cdot 10^{-4}$ | 1750           | 0,609               | 3250           | 0,245    | 4750           | $1,8 \cdot 10^{-2}$ |
| 420            | 0,851               | 720            | $1,4 \cdot 10^{-3}$ | 1020           | $4,0 \cdot 10^{-4}$ | 1800           | 0,663               | 3300           | 0,222    | 4800           | $2,7 \cdot 10^{-2}$ |
| 430            | 0,868               | 730            | $7,9 \cdot 10^{-4}$ | 1030           | $4,8 \cdot 10^{-4}$ | 1850           | 0,707               | 3350           | 0,204    | 4850           | $3,6 \cdot 10^{-2}$ |
| 440            | 0,882               | 740            | $4,6 \cdot 10^{-4}$ | 1040           | $6,1 \cdot 10^{-4}$ | 1900           | 0,746               | 3400           | 0,192    | 4900           | $4,7 \cdot 10^{-2}$ |
| 450            | 0,896               | 750            | $2,8 \cdot 10^{-4}$ | 1050           | $7,5 \cdot 10^{-4}$ | 1950           | 0,779               | 3450           | 0,185    | 4950           | $6,1 \cdot 10^{-2}$ |
| 460            | 0,908               | 760            | $1,8 \cdot 10^{-4}$ | 1060           | $9,2 \cdot 10^{-4}$ | 2000           | 0,806               | 3500           | 0,183    | 5000           | $7,7 \cdot 10^{-2}$ |
| 470            | 0,915               | 770            | $1,2 \cdot 10^{-4}$ | 1070           | $1,1 \cdot 10^{-3}$ | 2050           | 0,827               | 3550           | 0,187    | 5050           | $9,2 \cdot 10^{-2}$ |
| 480            | 0,921               | 780            | $8,2 \cdot 10^{-5}$ | 1080           | $1,4 \cdot 10^{-3}$ | 2100           | 0,847               | 3600           | 0,195    | 5100           | 0,103               |
| 490            | 0,930               | 790            | $6,0 \cdot 10^{-5}$ | 1090           | $1,7 \cdot 10^{-3}$ | 2150           | 0,863               | 3650           | 0,208    | 5150           | 0,107               |